

ANÁLISE TEÓRICA DA LUBRIFICAÇÃO NÃO-NEWTONIANA DE MANCAIS HIDRODINÂMICOS DE SAPATAS RETANGULARES – MODELO *POWER LAW*

Paulo Fernandes Silva

(Bolsista Recém-Doutor FAPEMIG)

Hélio Henrique Rabelo

(Bolsista Iniciação Científica FAPEMIG)

Vilmar Arthur Schwarz

José Célio Dias

Escola Federal de Engenharia de Itajubá, Departamento de Mecânica

Cx. P. 50 – 37500-000 – Itajubá, MG, Brasil. E-mail: psilva@iem.efei.br

Resumo

O desenvolvimento de um modelo teórico para a lubrificação não-newtoniana é apresentado e aplicado à análise do comportamento operacional de mancais hidrodinâmicos de sapatas retangulares. Entre os modelos reológicos usados na lubrificação hidrodinâmica não-Newtoniana, o modelo *power law* tem sido bastante utilizado, pois apresenta uma boa aproximação para a relação tensão cisalhante versus taxa de deformação e, portanto, será utilizado no presente trabalho. A equação unidimensional de Reynolds generalizada para um fluido *power law* é deduzida usando-se o método de perturbação de primeira ordem, o que resulta em uma equação aproximada. A seguir é feita uma análise de erro, com a finalidade de se determinar as condições de trabalho em que a solução aproximada pode ser aplicada. Finalmente, uma análise do comportamento operacional de um mancal hidrodinâmico infinitamente largo é apresentada.

Palavras-chave: Lubrificação não-Newtoniana, Modelo *Power Law*, Método de Perturbação.

1. INTRODUÇÃO

Na indústria moderna, a utilização de fluidos lubrificantes que apresentam um comportamento não-Newtoniano vem crescendo a cada dia. Como exemplo pode-se citar a aplicação de óleos minerais com adição de polímeros aumentadores do índice de viscosidade, graxas, lubrificantes sintéticos e naturais, que apresentam características reológicas necessárias em determinadas aplicações.

A teoria clássica de Reynolds da lubrificação hidrodinâmica é incapaz de predizer com precisão o comportamento de mancais operando com fluidos não-Newtonianos. Atentos a este fato, vários pesquisadores têm se dedicado ao estudo da lubrificação não-Newtoniana, entre os quais destacam-se os trabalhos de Dien & Elrod (1983), Buckholz (1986), Jianming & Gaobing (1989), Johnson & Mangkoesobroto (1993) e Rodkiewicz & Huang (1998).

Atualmente, a maioria dos trabalhos teóricos sobre lubrificação não-Newtoniana são desenvolvidos com base na equação de Reynolds generalizada para fluidos *power law*, proposta por Dien & Elrod (1983). Este modelo teórico admite que a taxa de deformação interna do fluido é gerada principalmente pelas velocidades relativas das superfícies. Assim, a análise se aplica tanto para fluidos não-Newtonianos com alta dominância de Couette como para fluidos Newtonianos com componentes arbitrárias de Couette-Poiseuille.

2. MODELO FÍSICO

A figura 1 apresenta esquematicamente o mancal de sapatas retangulares a ser analisado, onde U é a velocidade da peça móvel, enquanto que h_0 , h_1 , L e B são respectivamente as espessuras mínima e máxima do filme de lubrificante, o comprimento e a largura da sapata.

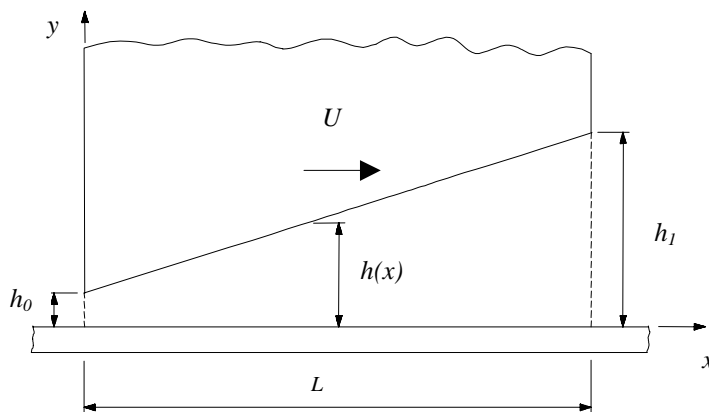


Figura 1. Mancal hidrodinâmico de sapatas retangulares

A espessura adimensional H do filme de lubrificante e a inclinação específica k da sapata do mancal mostrado na figura 1 são dadas respectivamente por:

$$H = \frac{h(x)}{h_0} = \left[1 + k \left(\frac{x}{L} \right) \right] \quad \text{e} \quad k = \left(\frac{h_1}{h_0} \right) - 1 \quad (1)$$

Conforme pode-se observar na figura 1, as condições de contorno de velocidade são:

$$y = 0 \quad : \quad u = 0 \quad (2a)$$

$$y = h \quad : \quad u = U \quad (2b)$$

3. MODELO TEÓRICO

Fazendo-se as hipóteses usuais da lubrificação hidrodinâmica e considerando que o mancal é infinitamente largo, as equações de movimento no filme fluido resultam em;

$$\frac{\partial p}{\partial x} = \frac{\partial \tau}{\partial y} \quad (3)$$

As relações constitutivas da tensão de cisalhamento τ e da viscosidade aparente μ para um fluido *power law* são dadas respectivamente por;

$$\tau = m \left(\frac{\partial u}{\partial y} \right)^n \quad \text{e} \quad \mu = m \left(\frac{\partial u}{\partial y} \right)^{n-1} = m I^{n-1} \quad (4)$$

onde o parâmetro n é o índice de característica reológica do fluido e m é a viscosidade plástica do fluido, a qual não depende da taxa de deformação.

O índice n caracteriza os fluidos da seguinte forma: $n > 1$ fluido dilatante, $n < 1$ fluido pseudoplástico e $n = 1$ fluido Newtoniano.

Das identidades na equação (4), obtém-se;

$$\tau = \mu \frac{\partial u}{\partial y} \quad (5)$$

Para se obter uma solução aproximada da equação (3) faz-se a hipótese de dominância de Couette no escoamento. Esta hipótese inicial é razoável, pois, quando a velocidade relativa entre as duas superfícies é grande, pode-se aplicar a condição de deslizamento puro. Conforme proposto por Dien & Elrod (1983), a solução aproximada da equação (3) pode ser obtida utilizando-se o método de pequenas perturbações, admitindo-se que as variáveis dependentes do problema possam ser expandidas em termos de uma pequena perturbação, ε .

No caso da componente de velocidade, u , obtém-se;

$$u = u_0 + \varepsilon u_1 + \dots \quad (6)$$

onde u_0 é a componente arbitrária de Couette, de acordo com a hipótese mencionada acima, e u_1 é a componente de Poiseuille.

Portanto, as condições de contorno de velocidade resultam em:

$$y = 0 \quad : \quad u_0 = 0 \quad u_1 = 0 \quad (7a)$$

$$y = h \quad : \quad u_0 = U \quad u_1 = 0 \quad (7b)$$

Diferenciando a equação (6) e considerando a primeira ordem de perturbação, obtém-se;

$$I = \frac{\partial u}{\partial y} = \frac{\partial u_0}{\partial y} + \varepsilon \frac{\partial u_1}{\partial y} = I_0 + \varepsilon I_1 \quad (8)$$

A equação (8) indica que I é igual a I_0 na sua vizinhança. Portanto, a expansão em série de Taylor de primeira ordem no ponto I_0 pode ser aplicada à viscosidade μ , isto é;

$$\mu(I) = \mu(I_0) + \varepsilon I_1 \left(\frac{\partial \mu}{\partial I} \right)_{I_0} = \mu_0 + \varepsilon \mu_1 = m \left(\frac{\partial u_0}{\partial y} \right)^{n-1} + \varepsilon I_1 \left(\frac{\partial \mu}{\partial I} \right)_{I_0} \quad (9)$$

O gradiente de pressão também pode ser expandido da mesma maneira;

$$\frac{\partial p}{\partial x} = \frac{\partial \pi_0}{\partial x} + \varepsilon \frac{\partial \pi_1}{\partial x} \quad (10)$$

onde π_0 e π_1 são as pressões de referencia.

Observe que a derivada $\frac{\partial \pi_0}{\partial x}$ é igual a zero, já que a solução para u_0 é o escoamento arbitrário de Couette, o qual depende somente da velocidade relativa entre as superfícies.

Substituindo-se as equações (5) e (10) na equação (3), obtém-se;

$$\varepsilon \frac{\partial \pi_1}{\partial x} = \frac{\partial}{\partial y} \left[\mu \left(\frac{\partial u}{\partial y} \right) \right] \quad (11)$$

Utilizando-se as equações (8) e (9), e considerando $\varepsilon^2 \cong 0$, a equação (11) resulta em;

$$\varepsilon \frac{\partial \pi_1}{\partial x} = \frac{\partial}{\partial y} \left(\mu_0 \frac{\partial u_0}{\partial y} \right) + \varepsilon \frac{\partial}{\partial y} \left(\mu_0 \frac{\partial u_1}{\partial y} + \mu_1 \frac{\partial u_0}{\partial y} \right) \quad (12)$$

Lembrando que o parâmetro ε é muito pequeno, pode-se escrever:

$$\frac{\partial}{\partial y} \left(\mu_0 \frac{\partial u_0}{\partial y} \right) = 0 \quad (13a)$$

$$\frac{\partial \pi_1}{\partial x} = \frac{\partial}{\partial y} \left(\mu_0 \frac{\partial u_1}{\partial y} + \mu_1 \frac{\partial u_0}{\partial y} \right) \quad (13b)$$

A equação (13a) pode ser integrada duas vezes em y , pois μ_0 é função somente de I_0 , ou seja, função de $\frac{\partial u_0}{\partial y}$, que possui um valor constante. Portanto, integrando-se duas vezes a equação (13a) e aplicando-se as condições de contorno definidas em (7a) e (7b), obtém-se;

$$u_0 = \frac{U}{h} y \quad (14)$$

Utilizando-se a equação (9), a equação (13b) toma a seguinte forma;

$$\frac{\partial \pi_1}{\partial x} = \frac{\partial}{\partial y} \left[m \left(\frac{\partial u_0}{\partial y} \right)^{n-1} \frac{\partial u_1}{\partial y} + \frac{\partial u_1}{\partial y} \left(\frac{\partial \mu}{\partial I} \right)_{I_0} \frac{\partial u_0}{\partial y} \right] \quad (15)$$

Da equação (4), na vizinhança de I_0 , obtém-se a seguinte relação;

$$\left(\frac{\partial \mu}{\partial I} \right)_{I_0} = m(n-1) \left(\frac{\partial u_0}{\partial y} \right)^{n-2} \quad (16)$$

Substituindo-se a equação (16) na equação (15) e utilizando-se a equação (14), obtém-se;

$$\frac{\partial \pi_1}{\partial x} = \frac{\partial}{\partial y} \left\{ \frac{\partial u_1}{\partial y} \left[mn \left(\frac{U}{h} \right)^{n-1} \right] \right\} \quad (17)$$

Integrando-se a equação (17) duas vezes em y , aplicando-se as condições de contorno definidas em (7a) e (7b) e utilizando-se as equações (9) e (14), obtém-se;

$$u_1 = \frac{1}{2n\mu_0} \frac{\partial \pi_1}{\partial x} (y^2 - hy) \quad (18)$$

Substituindo-se as equações (14) e (18) em (6) e lembrando que $\varepsilon \frac{\partial \pi_1}{\partial x} = \frac{\partial p}{\partial x}$, obtém-se;

$$u = \frac{U}{h} y + \frac{1}{2n\mu_0} (y^2 - hy) \varepsilon \frac{\partial \pi_1}{\partial x} = \frac{U}{h} y + \frac{1}{2n\mu_0} (y^2 - hy) \frac{\partial p}{\partial x} \quad (19)$$

A vazão por unidade de comprimento é obtida pela seguinte relação;

$$q_x = \frac{Q_x}{L} = \int_0^h u dy = \frac{Uh}{2} - \frac{h^{n+2}}{12nmU^{n-1}} \left(\frac{\partial p}{\partial x} \right) \quad (20)$$

Sendo o escoamento unidirecional, a vazão será a mesma em qualquer secção transversal do mancal, implicando em $\frac{\partial q_x}{\partial x} = 0$. Levando-se esta consideração na equação (20) obtém-se;

$$\frac{\partial}{\partial x} \left[\frac{h^{n+2}}{m} \left(\frac{\partial p}{\partial x} \right) \right] = 6nU^n \frac{\partial h}{\partial x} \quad (21)$$

que é a equação de Reynolds da lubrificação hidrodinâmica para mancais infinitamente largos, operando com fluidos não Newtonianos, proposta por Dien e Elrod (1983).

4. ANÁLISE DE ERRO

A equação (21) foi obtida através de um método aproximado e, portanto, envolve algum erro, de modo que para aplicá-la é necessário que se faça uma análise de erro.

A equação exata da vazão é obtida integrando-se a equação (3) em y , isto é;

$$m \left(\frac{\partial u}{\partial y} \right)^n = \frac{\partial p}{\partial x} y + \tau_1 \quad (22)$$

Definindo-se os seguintes parâmetros adimensionais;

$$\bar{u} = \frac{u}{U} \quad \bar{x} = \frac{x}{L} \quad \bar{y} = \frac{y}{h} \quad \bar{\tau} = \frac{\tau}{m \left(\frac{U}{h_0} \right)^n} \quad \bar{\tau}_1 = \frac{\tau_1}{m \left(\frac{U}{h} \right)^n} \quad \beta = \frac{\frac{\partial p}{\partial x} h}{\tau_1} \quad (23)$$

e introduzindo-os na equação (22), obtém-se;

$$\frac{\partial \bar{u}}{\partial \bar{y}} = \bar{\tau}_1 (\beta \bar{y} + 1)^{\frac{1}{n}} \quad (24)$$

Assim, as condições de contorno definidas pelas equações (7a) e (7b) resultam em:

$$\bar{y} = 0 \quad : \quad \bar{u} = 0 \quad (25a)$$

$$\bar{y} = 1 \quad : \quad \bar{u} = 1 \quad (25b)$$

Integrando-se a equação (24) em \bar{y} e aplicando-se as condições de contorno definidas pelas equações (25a) e (25b), obtém-se a velocidade adimensional \bar{u} ;

$$\bar{u} = (\bar{\tau}_1)^{\frac{1}{n}} \frac{\left[(\beta \bar{y} + 1)^{1+\frac{1}{n}} - 1 \right]}{\beta \left(1 + \frac{1}{n} \right)} = \frac{\left[(\beta \bar{y} + 1)^{1+\frac{1}{n}} - 1 \right]}{\left[(\beta + 1)^{1+\frac{1}{n}} - 1 \right]} \quad (26)$$

Integrando-se a equação (26) em \bar{y} , obtém-se a vazão adimensional \bar{q}_x ;

$$\bar{q}_x = \frac{q_x}{Uh} = \frac{(1+\beta)^{2+\frac{1}{n}} - \beta\left(2+\frac{1}{n}\right) - 1}{\beta\left(2+\frac{1}{n}\right)\left\{(1+\beta)^{1+\frac{1}{n}} - 1\right\}} \quad (27)$$

Multiplicando-se os parâmetros adimensionais $\bar{\tau}_1$ e β , determina-se o gradiente adimensional de pressão $\Delta\bar{p}$, o qual é dado por;

$$\Delta\bar{p} = \frac{h\frac{\partial p}{\partial x}}{m\left(\frac{U}{h}\right)^n} = \left\{ \frac{\beta\left(1+\frac{1}{n}\right)}{(\beta+1)^{1+\frac{1}{n}} - 1} \right\}^n \beta \quad (28)$$

Pode-se observar das equações (27) e (28) que o gradiente adimensional de pressão $\Delta\bar{p}$ é função da vazão adimensional \bar{q}_x , ou seja, $\Delta\bar{p} = f(\bar{q}_x)$. Da mesma forma esta relação de dependência para a solução aproximada pode ser obtida através da equação (20);

$$\Delta\bar{p} = 6n(1 - 2\bar{q}_x) \quad (29)$$

De posse das relações de dependência $\Delta\bar{p}$ versus \bar{q}_x , tanto para a solução exata como para a solução aproximada, pode-se determinar a faixa de \bar{q}_x na qual a solução aproximada pode ser aplicada, com um erro relativamente pequeno.

A figura 2 apresenta a variação do erro resultante da aplicação da solução aproximada em função da vazão \bar{q}_x , para vários valores do índice de característica reológica n . Pode-se observar que, para uma mesma faixa de vazão, os índices de característica reológica mais próximos da unidade resultam em um menor erro. A figura mostra também que a solução aproximada apresenta melhores resultados para os fluidos dilatantes ($n > 1$). Outra observação importante é que, para qualquer valor de n , o erro da solução aproximada diminui quando o efeito de Poiseuille é minimizado, como pode ser observado na equação (29). Isso ocorre quando a vazão adimensional \bar{q}_x tende para 0,5.

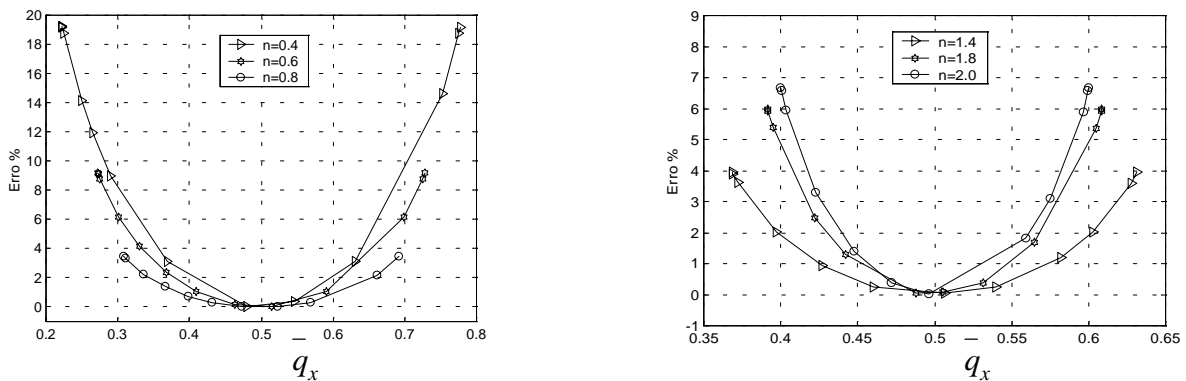


Figura 2. Erro versus vazão adimensional \bar{q}_x

5. PARÂMETROS RESULTANTES

A distribuição de pressão adimensional \bar{p} e a vazão adimensional \bar{q}_x em um mancal infinitamente largo são obtidas a partir da solução analítica da equação (21), o que resulta em:

$$\bar{p} = \frac{ph_0^{n+1}}{6mU^n L} = \frac{1}{k} \left\{ (1+k) \frac{[(1+k)^n - 1]}{[(1+k)^{n+1} - 1]} \left[\frac{1}{H^{n+1}} - 1 \right] - \frac{1}{H^n} + 1 \right\} \quad (30)$$

e

$$\bar{q}_x = \frac{q_x}{Uh_0} = \frac{(n+1)}{2n} (1+k) \frac{[(1+k)^n - 1]}{[(1+k)^{n+1} - 1]} \quad (31)$$

Integrando-se a equação (30), obtém-se a capacidade de carga adimensional, \bar{W} :

$$\bar{W} = \frac{Wh_0^{n+1}}{6mU^n L^2 B} = \frac{1}{k} \left\{ (1+k) \frac{[(1+k)^n - 1]}{[(1+k)^{n+1} - 1]} \left[\frac{1}{nk} - \frac{1}{nk(1+k)^n} - 1 \right] + \frac{1}{(n-1)k} \left[\frac{1}{(1+k)^{n-1}} - 1 \right] + 1 \right\} \quad (32)$$

A força de atrito adimensional \bar{F}_a é obtida através da seguinte integração;

$$\bar{F}_a = \frac{F_a}{m \left(\frac{U}{h_0} \right)^n BL} = \int_0^1 \int_0^1 \bar{\tau} d\bar{x} d\bar{z} = \int_0^1 \int_0^1 \left[\left(\frac{1}{H} \right)^n + \frac{3H}{n} \frac{\partial \bar{p}}{\partial x} \right] d\bar{x} d\bar{z} \quad (33)$$

o que resulta em:

$$\bar{F}_a = - \frac{[1 - (1+k)^{n-1}]}{(n-1)k(1+k)^{n-1}} - \frac{3k}{n} \bar{W} \quad (34)$$

6. RESULTADOS E COMENTÁRIOS

A figura 3 apresenta a variação da distribuição de pressão adimensional \bar{p} ao longo do comprimento adimensional \bar{x} do mancal, para vários índices de característica reológica n . Pode-se observar que o índice n tem grande influência sobre a distribuição de pressão e que esta é mais acentuada para os fluidos dilatantes.

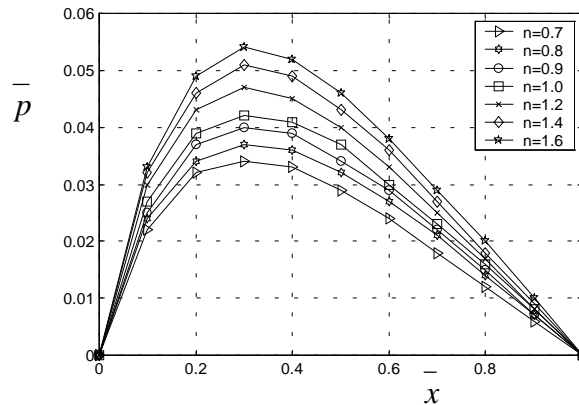


Figura 3. Distribuição de pressão \bar{p} para vários índices de característica reológica n

A figura 4 apresenta as variações da capacidade de carga \bar{W} e da força de atrito \bar{F}_a para vários valores do índice de característica reológica n , em função da variação da inclinação específica k . Pode-se observar que os fluidos dilatantes ($n > 1$) proporcionam capacidades de carga mais elevadas e forças de atrito menores à medida que n aumenta. Este comportamento torna os fluidos dilatantes preferíveis nas aplicações práticas. Outra observação é que os parâmetros resultantes de um mancal operando com fluido não-Newtoniano seguem a mesma tendência de comportamento dos mancais hidrodinâmicos operando com fluidos Newtonianos ($n = 1$).

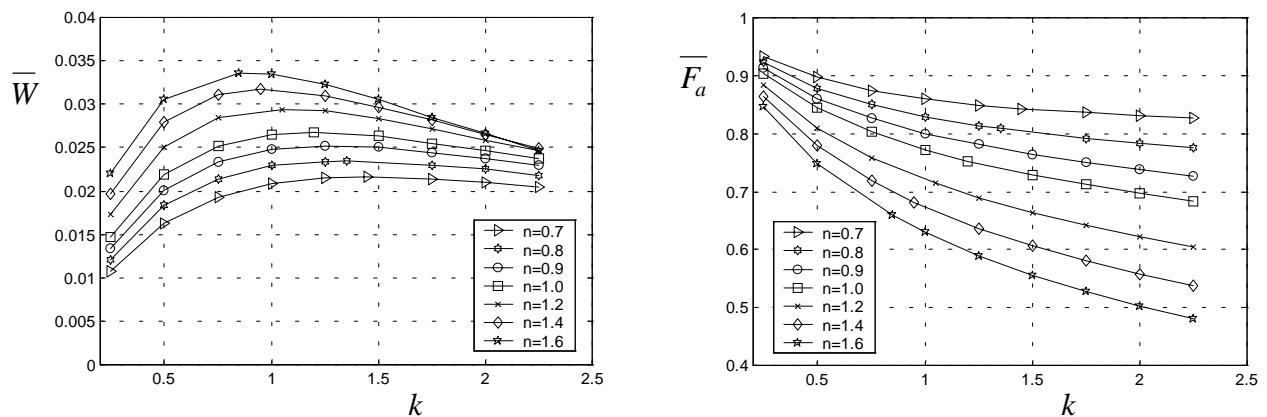


Figura 4. Comportamento dos parâmetros resultantes \bar{W} e \bar{F}_a em função da inclinação específica k , para vários valores de n

7. AGRADECIMENTOS

Os autores querem agradecer o apoio da **FAPEMIG** – Fundação de Amparo à Pesquisa do Estado de Minas Gerais – através do Projeto TEC-855/97, ao qual os autores estão envolvidos, incluindo a concessão de uma bolsa de Recém-Doutor ao primeiro autor e uma bolsa de Iniciação Científica (TEC-85039/99) ao segundo autor.

8. REFERÊNCIAS

- Buckholz, R.H., 1986, "Effects of Power-Law, Non-Newtonian Lubricants on Load Capacity and Friction for Plane Slider Bearings", *Journal of Tribology*, ASME Trans., Vol. 108, pp. 86-91.
- Dien, I.K., and Elrod, H.G., 1983, "A Generalized Steady-State Reynolds Equation for Non-Newtonian Fluids, With Application to Journal Bearings", *Journal of Lubrication Technology*, ASME Trans, Vol. 105, pp. 385-390.
- Jianming, W. and Gaobing, J., 1989, "The Optimum Design of the Rayleigh Slider Bearing With a Power Law Fluid", *Wear*, Vol. 129, pp. 1-11.
- Johnson Jr., M.W. and Mangkoesobroto, S., 1993, "Analysis of Lubrication Theory for the Power Law Fluid", *Journal of Tribology*, ASME Trans., Vol. 115, pp. 71-71.
- Rodkiewicz, C.M. and Huang, P., 1998, "On the Maximum Allowable Loads in the Thermo-Elastohydrodynamic Lubrication", *Journal of Tribology*, ASME Trans., Vol. 120, pp. 470-475.